

# 氩气通过 Cav-1 抑制小鼠脑梗死后急性期血脑屏障通透性增加

刘泳欣 张云峰

**【摘要】** 目的 探究氩气(Argon, Ar)对小鼠脑缺血再灌注(Cerebral ischemia reperfusion, CIR)后急性期血脑屏障(Blood-brain barrier, BBB)通透性的影响及其机制。方法 27 只雄性美国癌症研究所引进(Institute of cancer research, ICR)小鼠随机分为假手术组(Sham 组)、短暂性大脑中动脉栓塞(Transient middle cerebral artery occlusion, tMCAO)模型组(tMCAO 组)和氩气吸入组(tMCAO + iAr 组),每组各 9 只;比较各组小鼠再灌注 6 h 后伊文思蓝(Evans blue)渗漏及神经功能评分;蛋白免疫印迹和免疫组化检测缺血侧脑组织闭锁连接蛋白 1(Zonula occludens 1, ZO-1)、网格蛋白(Clathrin)和小窝蛋白 1(Caveolin-1, Cav-1)的表达水平。结果 与 Sham 组比较, tMCAO 组小鼠缺血侧脑组织 Evans blue 渗漏增加, 神经功能缺损加重; 缺血侧脑组织 Cav-1 和 Clathrin 蛋白表达水平增高, 而 ZO-1 蛋白表达水平无明显变化; CD31 标记的血管内皮细胞 Cav-1 荧光强度增加, 而 ZO-1 荧光强度无明显变化; 与 tMCAO 组比较, 氩气吸入组小鼠脑组织 Evans blue 渗漏减少, 神经功能缺损改善, 缺血侧脑组织中 Cav-1 蛋白表达水平降低和缺血半暗区 CD31 阳性内皮细胞中 Cav-1 荧光强度减弱。结论 氩气可能通过抑制小鼠脑缺血再灌注后急性期内皮细胞 Cav-1 介导的跨细胞转运、减轻 BBB 通透性增加来发挥神经保护作用。

**【关键词】** 脑缺血再灌注损伤 血脑屏障通透性 氩气 血管内皮细胞 跨细胞转运

**【中图分类号】** R743.33 **【文献标识码】** A **【文章编号】** 1007-0478(2024)06-0547-05

**【DOI】** 10.3969/j.issn.1007-0478.2024.06.007

随着静脉溶栓的普及和血管内治疗技术的进步, 缺血再灌注损伤是许多缺血性脑卒中后血管再通的患者必须面对的 1 个难题。急性期 BBB 通透性增加参与脑梗死后缺血再灌注损伤, 可继发脑水肿、出血转化等严重并发症<sup>[1]</sup>, 故尽早减轻 BBB 通透性增加能有效改善患者的生存预后。尽管先前的研究已经表明, 缺血性脑卒中后 BBB 损伤与炎症的诱导和紧密连接蛋白的下调有关, 但血管内皮细胞跨细胞转运上调是 BBB 高通透性的起始事件<sup>[2]</sup>, 是脑缺血再灌注后 BBB 破坏重要时空指标, 因此内皮细胞跨细胞转运逐渐成为新的治疗靶点。

惰性气体氩气作为一种新型气体神经保护剂, 有良好的脂溶性, 可更快地透过 BBB 作用于病灶<sup>[3]</sup>, 被认为是良好前景的神经保护剂<sup>[4]</sup>。这可能与氩气本身是一个非极性分子, 能与结合位点形成化学键, 或通过范德华力与特定受体结合有关。大量临床前研究证明, 氩气在多种神经损伤模型包

括脑缺血再灌注损伤模型都表现出抗凋亡、抗炎等生物学反应, 发挥神经保护作用<sup>[5]</sup>, 但其具体机制仍未被阐明。现有的多数研究重点关注小胶质细胞介导的神经炎症, 氩气对脑缺血再灌注后 BBB 的保护作用未见报道。

前期研究发现, 氩气可以减轻小鼠脑缺血再灌注后 24 h 脑组织含水量<sup>[6]</sup>, 然而氩气是否能保护脑缺血再灌注急性期(4~6 h)减轻 BBB 损伤尚不清楚, 其相关机制不明。本研究采用短暂性大脑中动脉栓塞模型, 以模拟缺血性脑卒中后血管再通治疗的缺血再灌注损伤, 通过比较氩气对 tMCAO 后脑组织伊文思蓝染色观察 BBB 通透性的影响, 结合神经功能评分, 并对脑组织和缺血半暗区血管内皮细胞中 Cav-1、Clathrin 和 ZO-1 表达水平进行比较, 以研究氩气对脑缺血再灌注后急性期 BBB 通透性的影响及机制, 为氩气治疗急性脑梗死的临床转化提供直接的实验依据。

## 1 材料与方

### 1.1 实验动物及 tMCAO 模型建立

健康成年雄性 ICR 小鼠 27 只, 体重 26~30

基金项目:江苏省研究生科研创新项目(KYCX22\_3372);南通市社会民生面上项目(MS22022058)

作者单位:226000 南通大学医学院[刘泳欣(南通大学附属医院卒中中心)];南通大学附属医院卒中中心[张云峰(通信作者)]

克,由南通大学实验动物中心提供;饲养环境保持安静,空气湿度 55%~75%,气温 23~25 °C,12 h 交替光照,允许小鼠自由进食和饮水。正式实验前一晚禁食。所有动物实验均按照南通大学动物伦理和使用机构要求进行。

小鼠随机为假手术(Sham)组,短暂性大脑中动脉栓塞(Transient middle cerebral artery occlusion, tMCAO)模型组(tMCAO组)和氩气吸入组(tMCAO+iAr组)。用异氟烷(深圳瑞沃德生命科技有限公司)诱导及维持小鼠麻醉,行颈中正线切口,暴露右侧颈总动脉、颈外动脉和颈内动脉后将线栓(6023PK5Re,Doccol公司)从颈外动脉推进颈内动脉,遇到阻力后停止进栓;将线栓与颈外动脉固定后缝合小鼠颈部切口;大脑中动脉栓塞1 h后拔出线栓进行血流再灌注,然后进行伤口缝合,于37 °C加热垫上等待苏醒。Sham组小鼠除不插入线栓,其余处理同tMCAO组小鼠。tMCAO+iAr组小鼠阻塞大脑中动脉后立即给予氩-氧混合气(79%氩气-21%氧气,南通天源气体有限公司),小鼠拔出线栓,继续吸入氩-氧混合气2 h,整个过程维持小鼠体温37 °C。其他常规试剂购于Sigma公司。

## 1.2 神经功能评分

采用双盲法对小鼠脑缺血再灌注6 h后进行神经功能缺损评分,从动物毛发、耳朵、体位、步态、自发运动、癫痫行为等6个方面进行评定,最高28分,评分越高表示神经功能缺损越严重。

## 1.3 伊文思蓝(Evans blue)染色及定量

各组小鼠进行相应手术处理后按照0.04 mL/10 g体重经尾静脉注射4%伊文思蓝溶液;伊文思蓝溶液在小鼠体内循环1 h后小鼠经腹腔注射2.5%阿弗汀(0.2 mL/10 g体重)麻醉,用0.9%生理盐水经心脏灌注后断头取脑,迅速将大脑切成2 mm冠状位薄片,按顺序置于载玻片上拍照;拍摄结束后用1 mL 50%三氯乙酸溶液将大脑匀浆,匀浆后15000 r/min离心30 min;离心结束后取上清用无水乙醇按1:3的稀释,混匀后取100  $\mu$ L至96孔板中,测量其在630 nm处吸光度。

## 1.4 免疫荧光染色

各组小鼠脑组织经固定、脱水后进行冰冻切片,25  $\mu$ m冠状位切片经磷酸缓冲盐溶液(Phosphate buffered saline,PBS)清洗后用免疫染色通透液0.3%曲拉通 X-100 (T-octylphenoxypolyethoxyethanol, Triton X-100)室温破膜15 min,10%牛血清蛋白室温

封闭2 h后加入以下一抗4 °C孵育过夜:抗Cav-1(1:500,Cat # 3238,CST),抗CD31(1:200,Cat # 28083-1-AP,Proteintech),抗ZO-1(1:1000,Cat # 21773-1-AP,Proteintech);PBS清洗后依次用二抗避光室温孵育2 h,4',6-二脒基-2-苯基吲哚(4',6-Diamidino-2-phenylindole,DAPI)室温孵育30 min;孵育结束后用封片剂封固,在避光盒中阴干。

## 1.5 蛋白免疫印迹(Western blot)

各组小鼠经腹腔注射2.5%阿弗汀麻醉后迅速断头取缺血侧脑组织;脑组织加入裂解液后充分研磨,于冰上静置30 min后离心收集上清进行蛋白水平测定,取等量蛋白加热变性后在十二烷基硫酸钠-聚丙烯酰胺凝胶上进行电泳分离,湿转法转移至聚偏二氟乙烯(Polyvinylidene fluoride,PVDF)膜上,用5%脱脂牛奶室温封闭2 h后加入以下一抗4 °C孵育过夜ZO-1(1:1000,Cat # 21773-1-AP,Proteintech),Cav-1(1:1000,Cat # 3238,CST),Clathrin(1:1000,ab21679,Abcam)和 $\beta$ -肌动蛋白(Beta-actin, $\beta$ -actin)(1:10000,Biosharp,BL005B);第2 d将PVDF膜用三羟甲基氨基甲烷[Tris(hydroxymethyl)aminomethane,Tris]盐缓冲液清洗3次后加入相对应二抗,室温孵育2 h;增强型化学发光试剂(Enhanced chemiluminescence,ECL)系统进行显影,用ImageJ计算各蛋白条带灰度值,检测ZO-1,Cav-1,Clathrin和 $\beta$ -actin的表达水平。

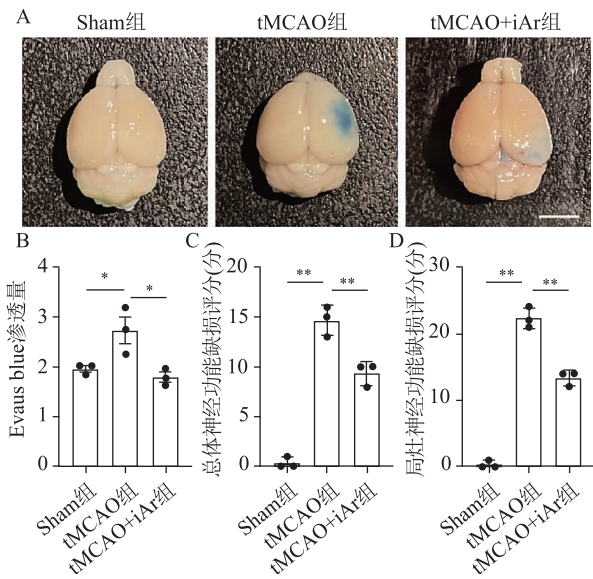
## 1.6 统计学处理

使用Graphpad 8.0软件,计量资料以均数 $\pm$ 标准差( $\bar{x} \pm s$ )表示,采用单因素方差分析,以 $P < 0.05$ 为差异有统计学意义。

## 2 结果

### 2.1 氩气减轻急性期 tMCAO 小鼠 BBB 通透性增加

与Sham组比较,tMCAO组脑组织Evans blue外渗明显增加( $P = 0.04$ )。吸入氩气后小鼠脑组织Evans blue残留含量比tMCAO组小鼠少( $P = 0.0173$ )(图1);与Sham组比较,tMCAO组小鼠总体和局灶神经功能缺损评分显著升高( $P < 0.01$ )(图1);与tMCAO组比较,tMCAO+iAr组小鼠神经功能缺损评分均下降( $P < 0.01$ )(图1)。即氩气吸入可减轻小鼠脑缺血再灌注超急性期BBB通透性增加,改善tMCAO小鼠神经功能缺损。



**图 1** 氦气对 tMCAO 小鼠 BBB 通透性及神经功能缺损评分的影响 A 为各组小鼠脑组织 Evans blue 渗漏,比例尺 = 5 mm;B 为各组小鼠脑组织 Evans blue 残留量比较,  $n = 3$ /组;C 为小鼠总体神经功能缺损评分,  $n = 3$ /组;D 为小鼠局灶神经功能缺损评分,  $n = 3$ /组;两两比较, \*  $P < 0.05$ , \*\*  $P < 0.01$

### 2.2 氦气抑制急性 Cav-1 介导的跨细胞转运

tMCAO 组缺血侧脑组织中 Cav-1 ( $P =$

0.0315)和 Clathrin( $P = 0.0060$ )蛋白表达水平均比 Sham 组升高(图 2);吸入氦气治疗后 Cav-1 表达水平低于 tMCAO 组( $P = 0.0028$ ),但对 Clathrin 的上调无明显抑制作用( $P = 0.7910$ )(图 2)。

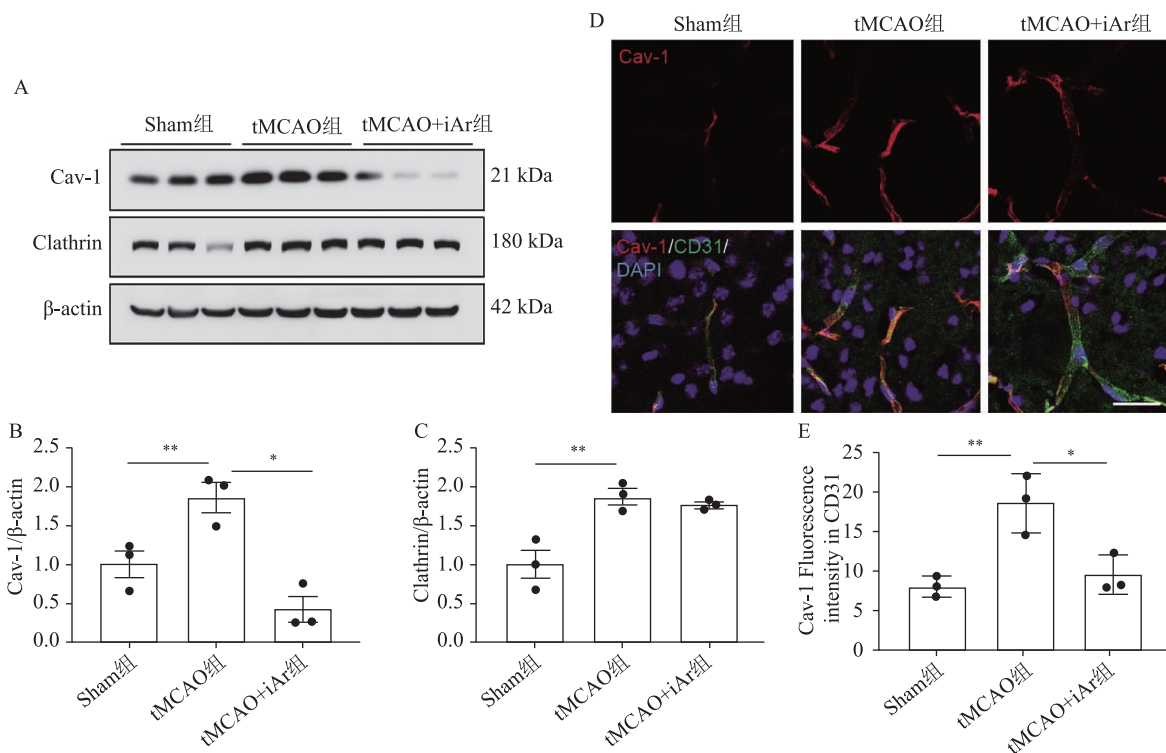
吸入氦气后 CD31 阳性细胞中 Cav-1 荧光强度比 tMCAO 组弱( $P = 0.0146$ )(图 2),即氦气抑制再灌注后急性期 Cav-1 介导的跨细胞转运。

### 2.3 氦气不影响急性期细胞旁紧密连接

与 Sham 组比较,tMCAO 组小鼠脑组织中 ZO-1 蛋白表达水平无明显变化( $P = 0.7852$ )(图 3);各组 CD31 阳性细胞中 ZO-1 形态连续(图 3);tMCAO 组脑缺血半暗带 CD31 阳性细胞中 ZO-1 的荧光强度与 Sham 组比较无显著差异( $P = 0.8860$ );吸入氦气后 ZO-1 蛋白条带灰度值未发生明显变化( $P = 0.8228$ ),CD31 阳性细胞中 ZO-1 荧光强度未有显著差异( $P = 0.6652$ )。即氦气对急性期 BBB 通透性的保护作用不是通过内皮细胞旁紧密连接介导的。

## 3 讨论

本研究围绕氦气对 CIR 后急性期脑血管内皮



**图 2** 各组小鼠缺血半暗带内皮细胞中 Cav-1 表达水平 A 为各组小鼠缺血侧脑组织 Cav-1,Clathrin 和  $\beta$ -actin 蛋白电泳;B, C 分别为各组小鼠缺血侧脑组织 Cav-1 和 Clathrin 蛋白水平比较,  $n = 3$ /组;D 为各组小鼠缺血半暗带内皮细胞(CD31,绿色)中 Cav-1(红色)表达水平,比例尺 = 25  $\mu$ m;E 为 D 中各组 CD31 阳性细胞中 Cav-1 荧光强度比较,  $n = 3$ /组;两两比较, \*  $P < 0.05$ , \*\*  $P < 0.01$

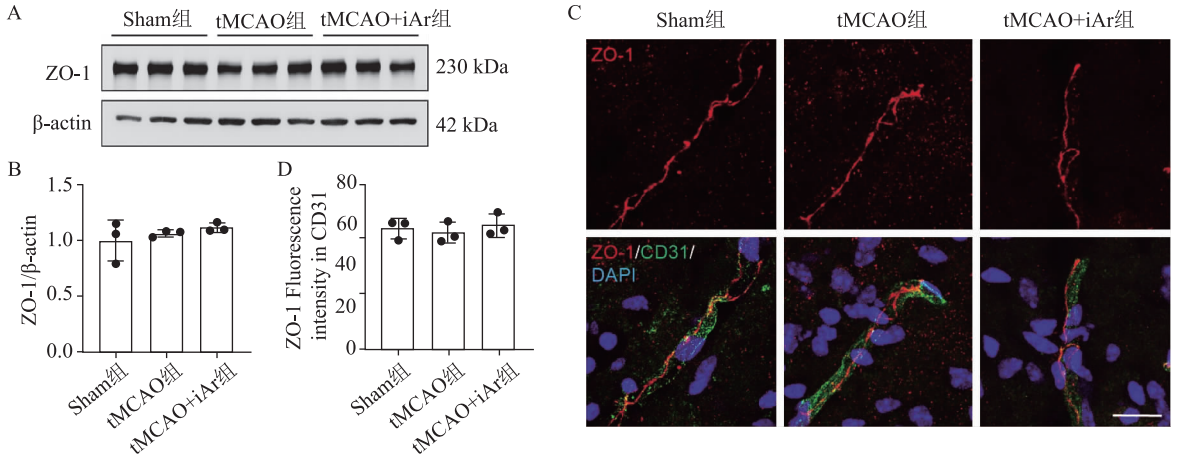


图3 各组小鼠缺血半暗带内皮细胞中ZO-1表达水平 A为各组小鼠缺血侧脑组织ZO-1蛋白电泳;B为各组小鼠缺血侧脑组织ZO-1蛋白水平比较, n=3/组;C为各组小鼠缺血半暗带内皮细胞(CD31,绿色)与ZO-1(红色)双重荧光染色,比例尺=25μm;D为各组小鼠缺血半暗带内皮细胞ZO-1荧光强度比较, n=3/组;两两比较, \* P<0.05, \*\* P<0.01

细胞通透性的作用及跨细胞转运机制展开;本研究不仅发现氩气能减少 CIR 后急性期脑组织 Evans blue 渗漏,减轻 BBB 通透性增加;进一步研究还发现,氩气明显抑制缺血半暗区跨细胞转运相关蛋白 Cav-1 在内皮细胞中的分布,但对缺血侧脑组织 Clathrin 上调无明显抑制作用,对急性期 BBB 通透性的保护作用不是通过内皮细胞旁紧密连接介导的。

BBB 功能失调是 CIR 后诱发继发性损伤的重要病理生理机制。有研究发现, CIR 后急性期 BBB 通透性增加可引起恶性脑水肿等严重并发症。惰性气体氩气具有神经保护作用<sup>[7-9]</sup>。我们的前期研究证实氩气可以减少脑缺血再灌注 24 h 后脑含水量<sup>[6]</sup>。本研究通过 Evans blue 残留量作为评估 BBB 通透性的指标,发现吸入氩气后 Evans blue 渗漏和神经功能缺损评分减少,提示吸入氩气可以改善 CIR 后急性期 BBB 通透性增加。

跨细胞转运增加是解释 BBB 跨细胞通透性增加的有力证据。超微结构分析表明,内皮细胞囊泡转运增加是缺血性脑卒中 BBB 损伤的起始事件。Xu 等人研究发现,在急性高血糖诱导脑卒中后出血转化模型中内皮细胞中直径<100 nm 囊泡和 100~150 nm 囊泡数量显著增加<sup>[10]</sup>,提示 Clathrin 介导和 Caveolae 介导的跨细胞转运参与脑卒中后 BBB 的高通透性<sup>[11]</sup>。Clathrin 是胞浆中的网格蛋白,介导配体-受体特异性结合的跨细胞转运机制。Caveolae 是一种特殊的细胞膜脂筏结构,富含胆固醇和磷脂。其中, Cav1 不仅介导跨细胞转运,同时参与脂筏小窝 Caveolae 的形成。当 Cav-1 表达被抑制后疾病状态下 BBB

通透性得以维持<sup>[12]</sup>。本研究结果表明,吸入氩气后内皮细胞 Cav-1 表达水平降低,但对 Clathrin 蛋白上调无明显抑制作用,这可能与氩气作为一种分子量较小的脂溶性气体有关。本研究推测,氩气透过细胞膜时会对磷脂双分子层产生作用,影响脂筏小窝的形成。血管内皮细胞旁途径破坏同样会增加 BBB 通透性,故本研究还对内皮细胞旁的紧密连接蛋白 ZO-1 进行检测,结果显示各组间 ZO-1 表达水平无明显差异。表明氩气对再灌注急性期 BBB 通透性的调控并非是通过细胞旁转运机制介导的。

虽然本研究已经观察到氩气能改善 CIR 急性期 BBB 通透性增加,下一步考虑采用核磁共振扫描成像在动物上观察氩气对 CIR 后 BBB 通透性时空动态变化。采用离体细胞培养了解氩气是否直接作用于血管内皮细胞,以深入探究氩气的作用机制。

本研究发现氩气抑制小鼠脑缺血再灌注后急性期 Cav-1 介导的跨细胞转运,保护 BBB,减轻脑损伤。合并其他慢性疾病如高血压病、糖尿病等动物模型对了解氩气的神经保护机制有更好的帮助<sup>[13]</sup>,也为其未来的临床转化提供了重要的实验依据。

参 考 文 献

[1] Ng FC, Churilov L, Yassi N, et al. Microvascular dysfunction in blood-brain barrier disruption and hypoperfusion within the infarct posttreatment are associated with cerebral edema [J]. Stroke, 2022, 53(5): 1597-1605.  
 [2] Haley MJ, Lawrence CB. The blood-brain barrier after stroke: structural studies and the role of transcytotic vesicles [J]. J Cereb Blood Flow Metab, 2017, 37(2): 456-470.

代检验医学杂志,2019,34(2):60-63.

- [23] Wang L, Li RF, Guan XL, et al. Predictive value of soluble CD59 for poor 28-day neurological prognosis and all-cause mortality in patients after cardiopulmonary resuscitation: a prospective observational study[J]. *Journal of Intensive Care*, 2023, 11(1):3.
- [24] 曲明卫, 王立敏, 朱兰, 等. 血清 NSE、MMP-10、s100 $\beta$  与急性脑梗死患者神经功能缺损程度的关系研究[J]. *神经损伤与功能重建*, 2020, 15(7):408-409.
- [25] 宋宏中, 饶俊平, 罗凌云. 急性脑梗死患者静脉溶栓后血清

S100 $\beta$  蛋白与预后的关系[J]. *吉林医学*, 2022, 43(3):589-593.

- [26] Arrais AC, Melo LHMF, Norrara B, et al. S100B protein: general characteristics and pathophysiological implications in the central nervous system[J]. *Int J Neurosci*, 2022, 132(3):313-321.
- [27] Flora GD, Nayak MK. A brief review of cardiovascular diseases, associated risk factors and current treatment regimes[J]. *Curr Pharm Des*, 2019, 25(38):4063-4084.

(2024-05-07 收稿)

### (上接第 546 页)

- [12] Chen LY, Liu F, Tian X, et al. Impact of cerebral microbleeds on cognitive functions and its risk factors in acute cerebral infarction patients[J]. *Neurol Res*, 2023, 45(6):564-571.
- [13] Yang T, Deng Q, Jiang S, et al. Cognitive impairment in two subtypes of a single subcortical infarction[J]. *Chin Med J (Engl)*, 2021, 134(24):2992-2998.
- [14] Wei WP, Ma DL, Li L, et al. Cognitive impairment in cerebral small vessel disease induced by hypertension[J]. *Neural Regen Res*, 2024, 19(7):1454-1462.
- [15] 王韵娴, 林榕, 颜缘娇, 等. 糖尿病合并轻度认知功能障碍患者亚群分类研究[J]. *护理学杂志*, 2024, 39(4):45-48.
- [16] 付泉水, 张体江. FLAIR 血管高信号-DWI 不匹配在急性卒中中血管再通治疗后预后的预测价值[J]. *临床放射学杂志*,

2020, 39(5):860-864.

- [17] Jiang L, Peng MY, Geng W, et al. FLAIR hyperintensities-DWI mismatch in acute stroke: associations with DWI volume and functional outcome[J]. *Brain Imaging Behav*, 2020, 14(4):1230-1237.
- [18] Jing LN, Sui BB, Shen M, et al. Comparison of three FLAIR vascular hyperintensities methodologies in patients with acute ischemic stroke[J]. *Acta radiol*, 2021, 62(6):766-775.
- [19] Tao ZH, Zhou F, Zhang HJ, et al. Value of MRI T<sub>2</sub> FLAIR vascular hyperintensities combined with DWI ASPECTS in predicting the prognosis of acute cerebral infarction with endovascular treatment[J]. *Curr Med Imaging*, 2023, 19(11):1273-1278.

(2024-05-15 收稿)

### (上接第 550 页)

- [3] 王军, 程鹏飞, 沈文彪. 方兴未艾的氩气生物学[J]. *中国生物化学与分子生物学报*, 2023, 39(7):905-910.
- [4] De Deken JL, Rex S, Monbaliu D, et al. The efficacy of noble gases in the attenuation of ischemia reperfusion injury: a systematic review and meta-analyses[J]. *Crit Care Med*, 2016, 44(9):e886-e896.
- [5] Nowrangi DS, Tang JP, Zhang JH. Argon gas: a potential neuroprotectant and promising medical therapy[J]. *Med Gas Res*, 2014, 4(1):3.
- [6] He J, Xue K, Liu J, et al. Timely and appropriate administration of inhaled argon provides better outcomes for tMCAO mice: a controlled, randomized, and Double-Blind animal study[J]. *Neurocrit Care*, 2022, 37(1):91-101.
- [7] Edge CJ, Dickinson R. Argon: a noble, but not inert, treatment for brain trauma? [J]. *Br J Anaesth*, 2021, 126(1):41-43.
- [8] Kremer B, Coburn M, Weinandy A, et al. Argon treatment after experimental subarachnoid hemorrhage: evaluation of microglial activation and neuronal survival as a subanalysis of a randomized controlled animal trial[J]. *Med Gas Res*, 2020, 10

(3):103-109.

- [9] Srinivasula SM, Ulbrich F, Kaufmann K, et al. Argon mediates anti-apoptotic signaling and neuroprotection via inhibition of toll-like receptor 2 and 4 [J]. *Plos One*, 2015, 10(12):e0143887.
- [10] Xu XM, Zhu LQ, Xue K, et al. Ultrastructural studies of the neurovascular unit reveal enhanced endothelial transcytosis in hyperglycemia-enhanced hemorrhagic transformation after stroke[J]. *CNS Neurosci Ther*, 2021, 27(1):123-133.
- [11] Zhou M, Shi SX, Liu N, et al. Caveolae-mediated endothelial transcytosis across the blood-brain barrier in acute ischemic stroke[J]. *J Clin Med*, 2021, 10(17):3795.
- [12] Andreone BJ, Chow BW, Tata A, et al. Blood-brain barrier permeability is regulated by lipid transport-dependent suppression of caveolae-mediated transcytosis[J]. *Neuron*, 2017, 94(3):581-594. e5.
- [13] Lapchak PA, Zhang JH, Noble-Haesslein LJ. RIGOR guidelines: escalating STAIR and STEPS for effective translational research[J]. *Transl Stroke Res*, 2013, 4(3):279-285.

(2024-04-09 收稿)